

# Identifikace azbestových vláken metodou SEM EDS - přednosti a úskalí.

Karel Lach, Eduard Ježo

# Skenovací elektronový mikroskop



# Identifikace azbestových vláken v technických produktech a stavebních materiálech na SEM je založena na německém postupu

**VDI 3866 vydaném pod hlavičkou VEREIN DEUTSCHER  
INGENIEURE**

ICS 13.040.40

VDI-RICHTLINIEN

Oktober 2004  
October 2004

VEREIN  
DEUTSCHER  
INGENIEURE

Bestimmung von Asbest in  
technischen Produkten  
Rasterelektronenmikroskopisches Verfahren  
  
Determination of asbestos in  
technical products  
Scanning electron microscopy method

VDI 3866

Blatt 5 / Part 5

Ausg. deutsch/englisch  
Issue German/English

Frühere Ausgabe: 5.03 Entwurf, deutsch  
Former edition: 5/03 draft, in German only  
Ver Ingenieure, Düsseldorf 2004

Der Entwurf dieser Richtlinie wurde mit Ankündigung im Bundesanzeiger einem öffentlichen Einspruchsverfahren unterworfen.  
Die deutsche Version dieser Richtlinie ist verbindlich.

The draft of this guideline has been subject to public scrutiny after announcement in the Bundesanzeiger (Federal Gazette).  
The German version of this guideline shall be taken as authoritative. No guarantee can be given with respect to the English translation.

Inhalt

Seite

Contents

Page

Vorbermerkung

2

Preliminary note

2

Internal use – not permitted

**Identifikace azbestových vláken v technických produktech a stavebních materiálech na SEM je založena na německém postupu**

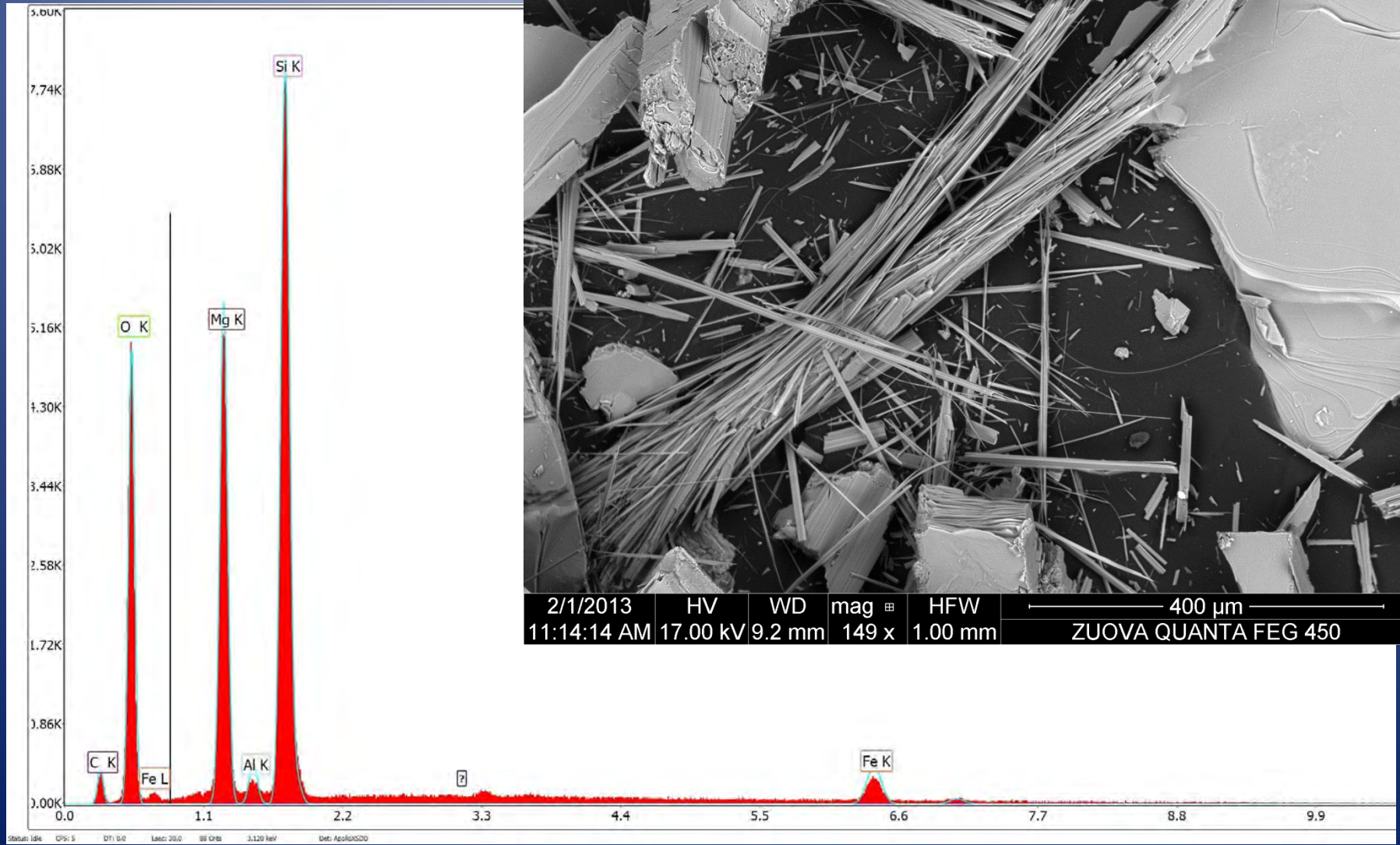
**VDI 3866 vydaném pod hlavičkou VEREIN DEUTSCHER INGENEURE**

**Metoda je vhodná pro identifikaci azbestových vláken, jejichž hmotnostní obsah je vyšší než 1%.**

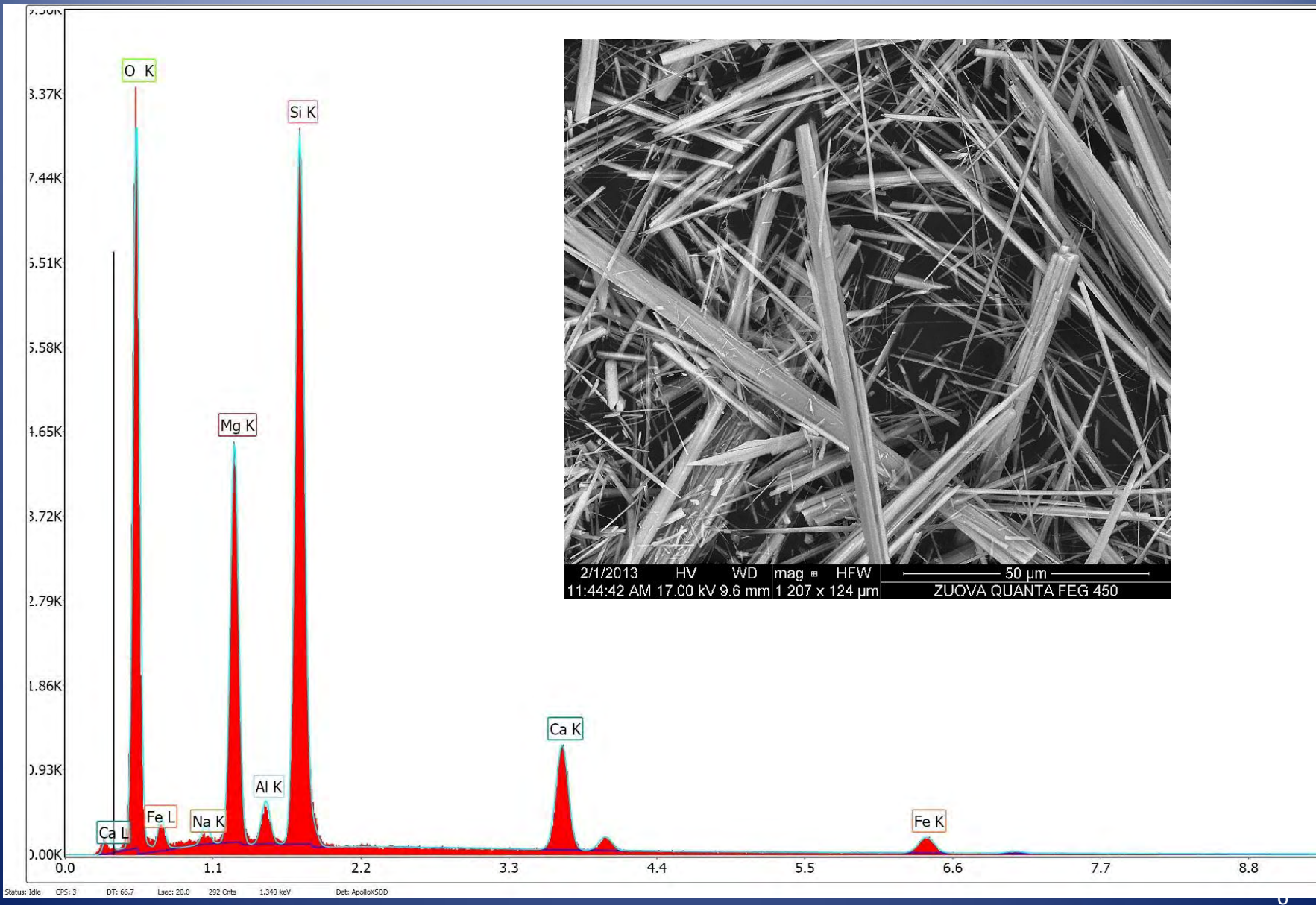
**Prachový vzorek se zpracovává při zvětšení v rozsahu 100 až 5000krát.**

**Nalezená minerální vlákna nebo svazky vláken jsou podrobeny EDS analýze (EDXA) a na základě elementárního složení a rovněž i morfologie vlákna je analyzovaný objekt jednoznačně identifikován.**

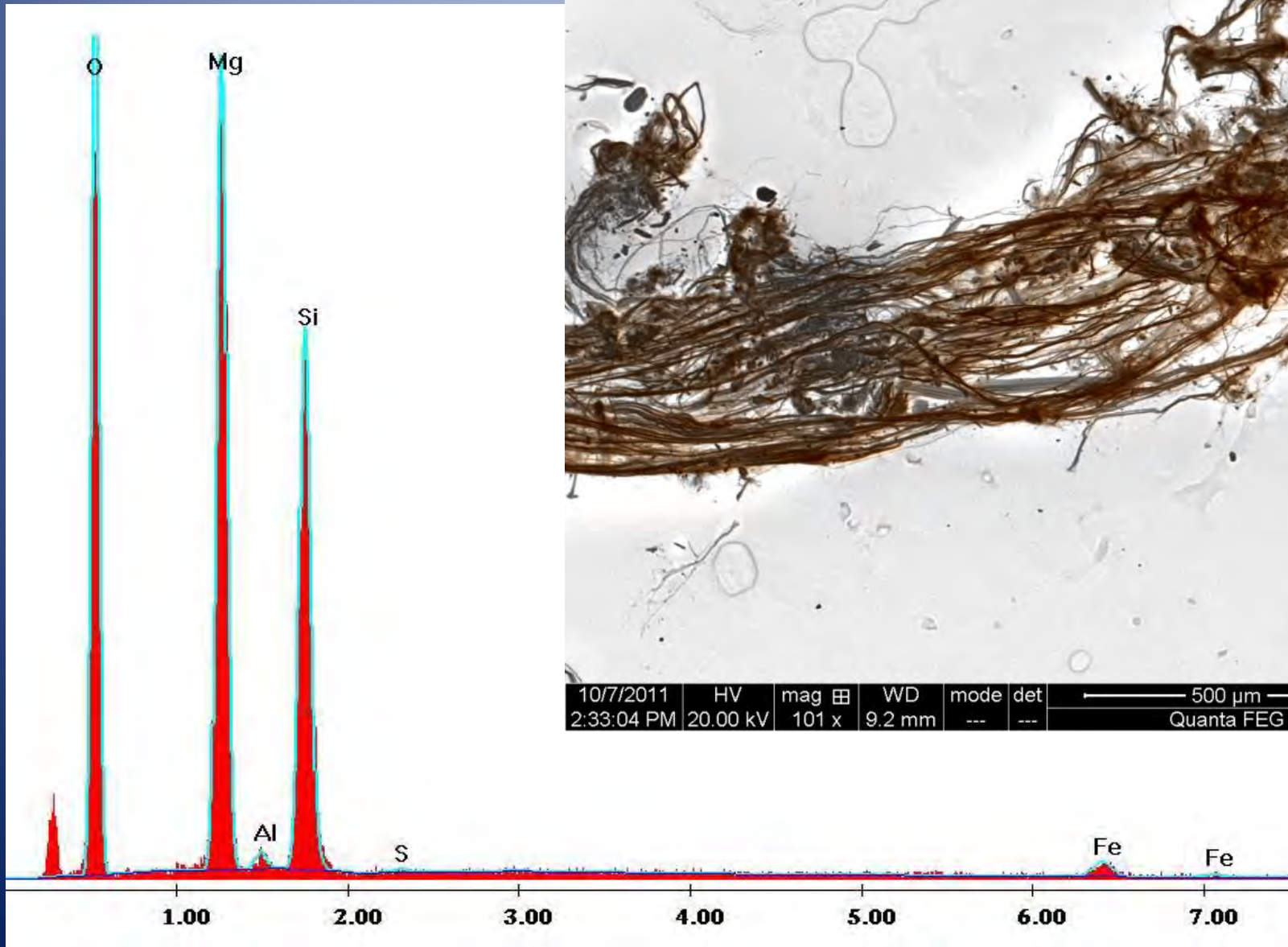
# Antofylitový azbest



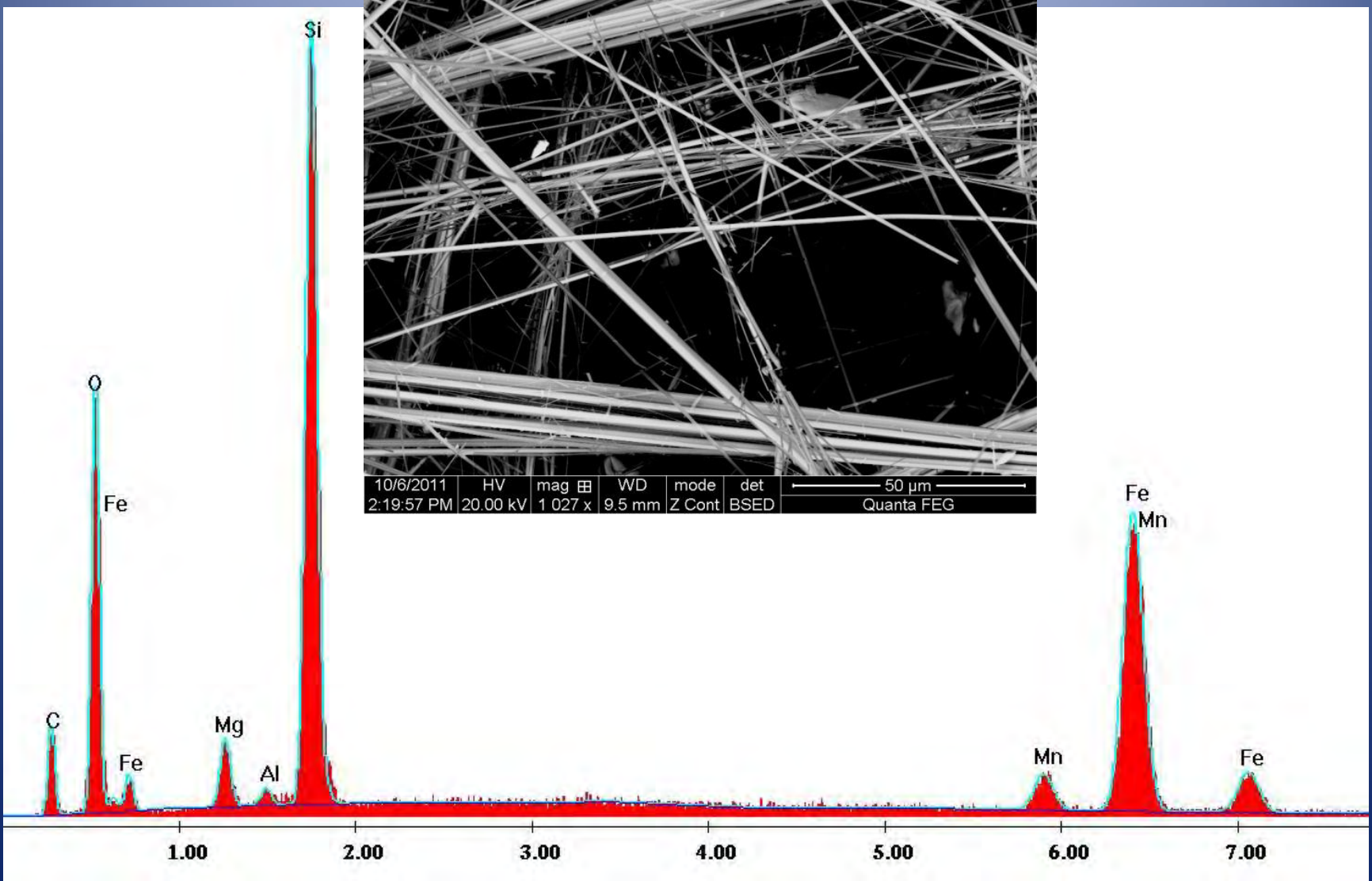
# Aktinolit - tremolitový azbest



## Chryzotil



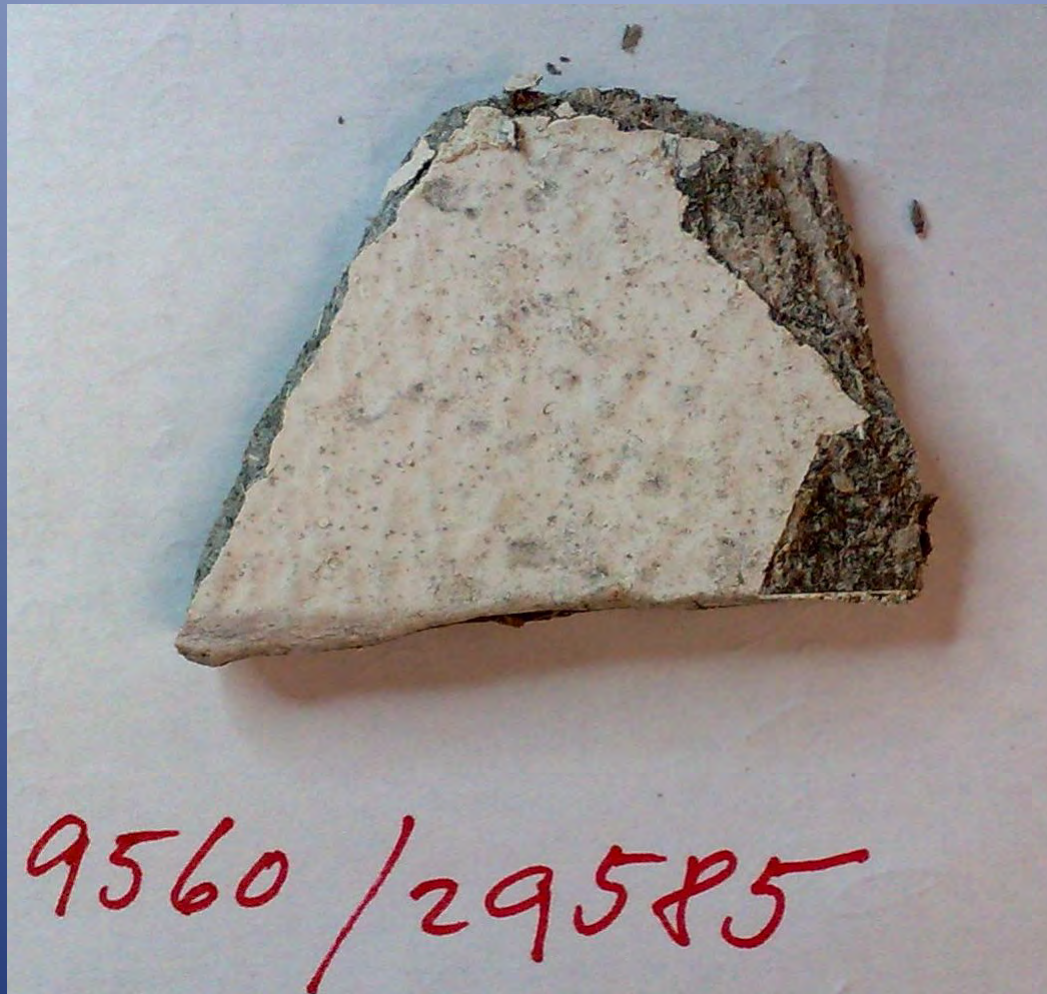
# Amosite



## Příklady dodaných vzorků na identifikaci azbestových vláken



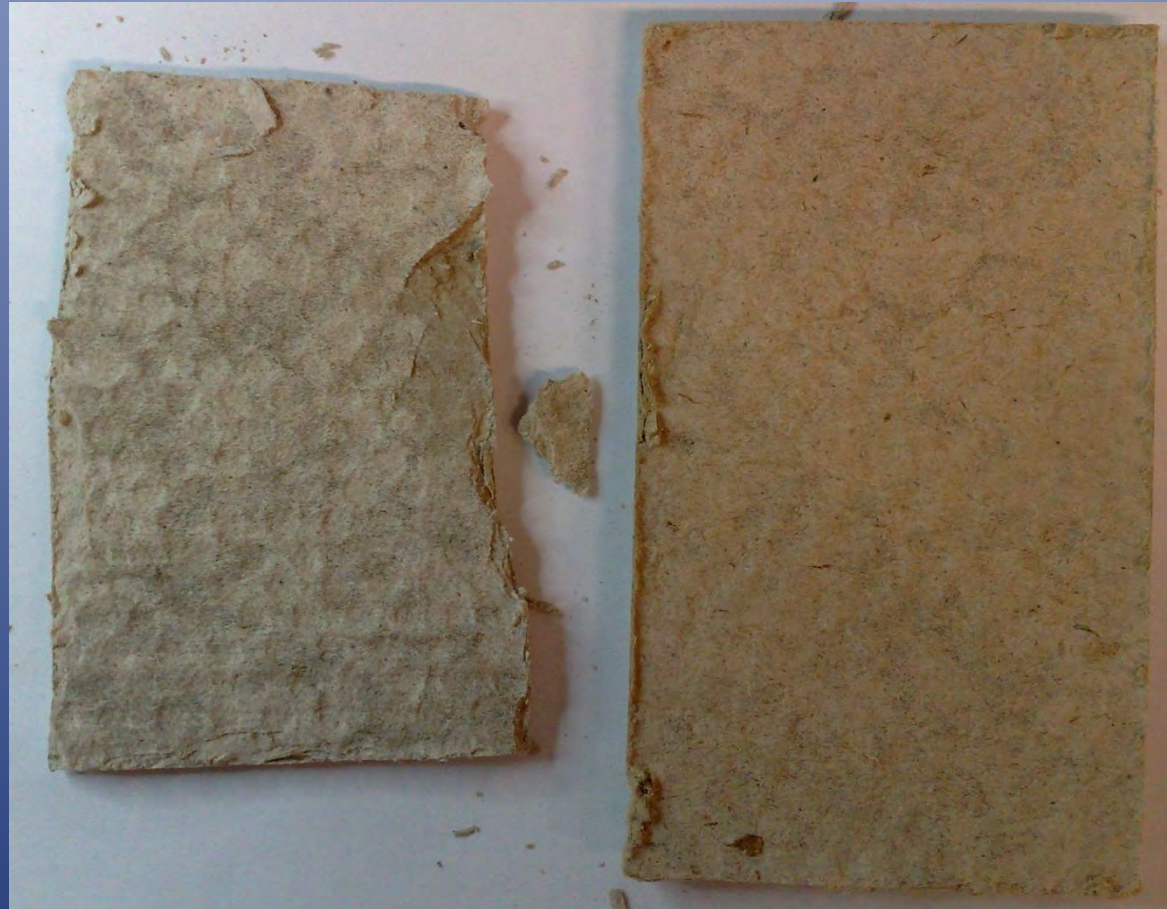
Příklady dodaných vzorků na identifikaci azbestových vláken



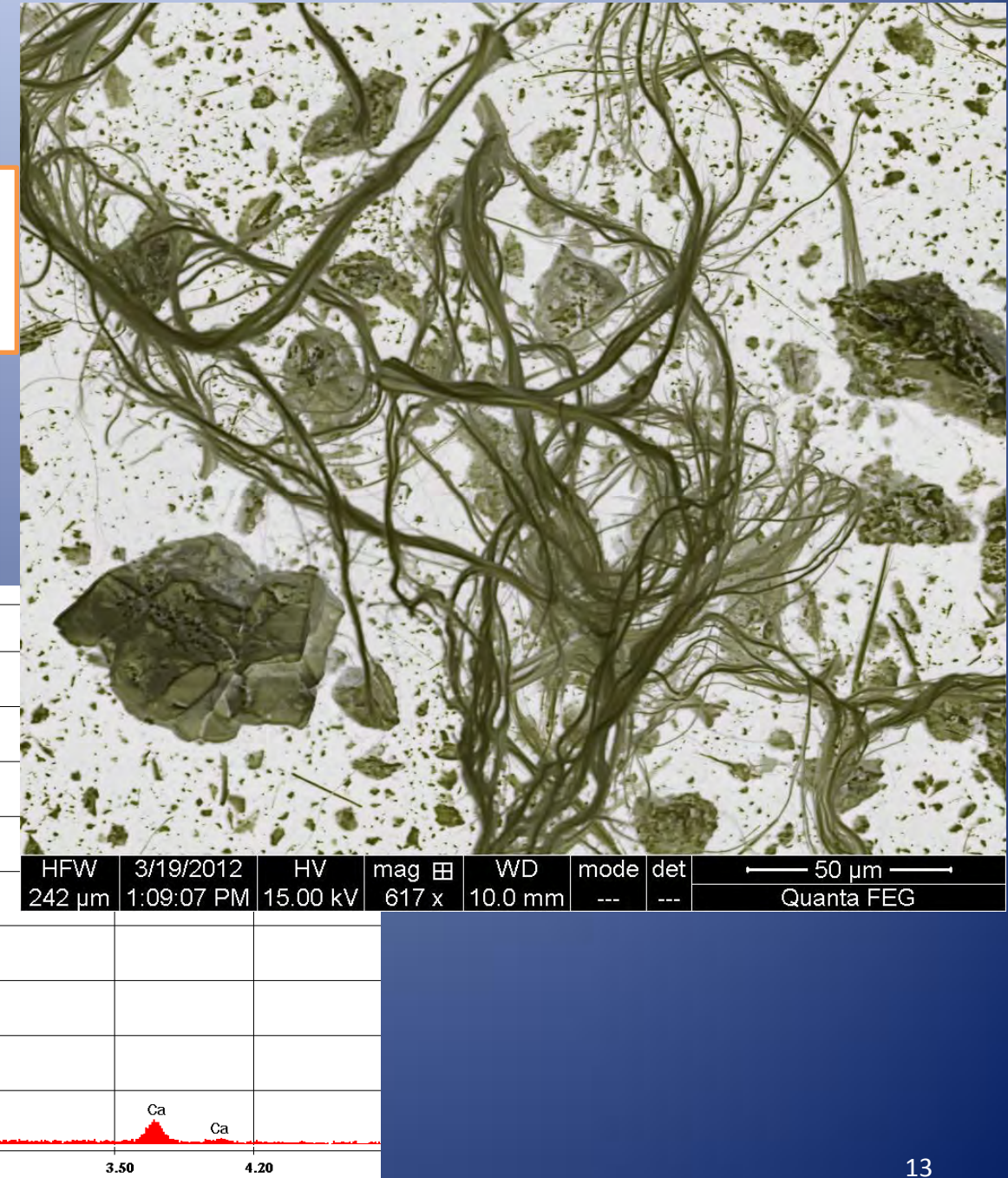
## Příklady dodaných vzorků na identifikaci azbestových vláken



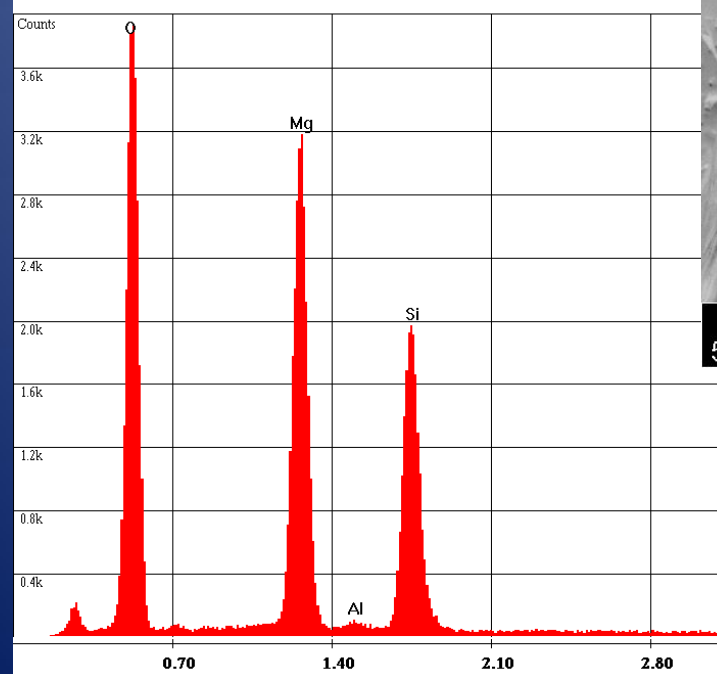
## Příklady dodaných vzorků na identifikaci azbestových vláken



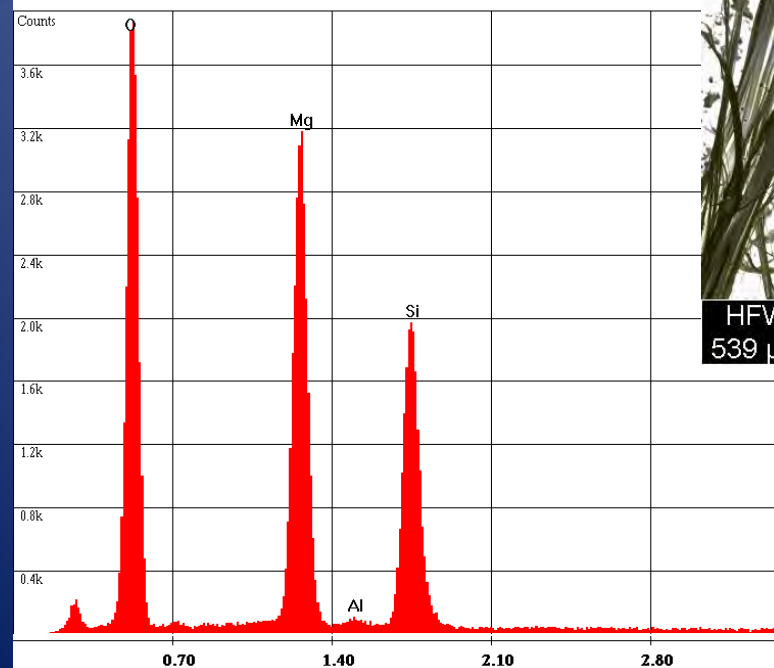
## Vlákna azbestu – chryzotilu ve stavebním materiálu – azbestocementovém potrubí



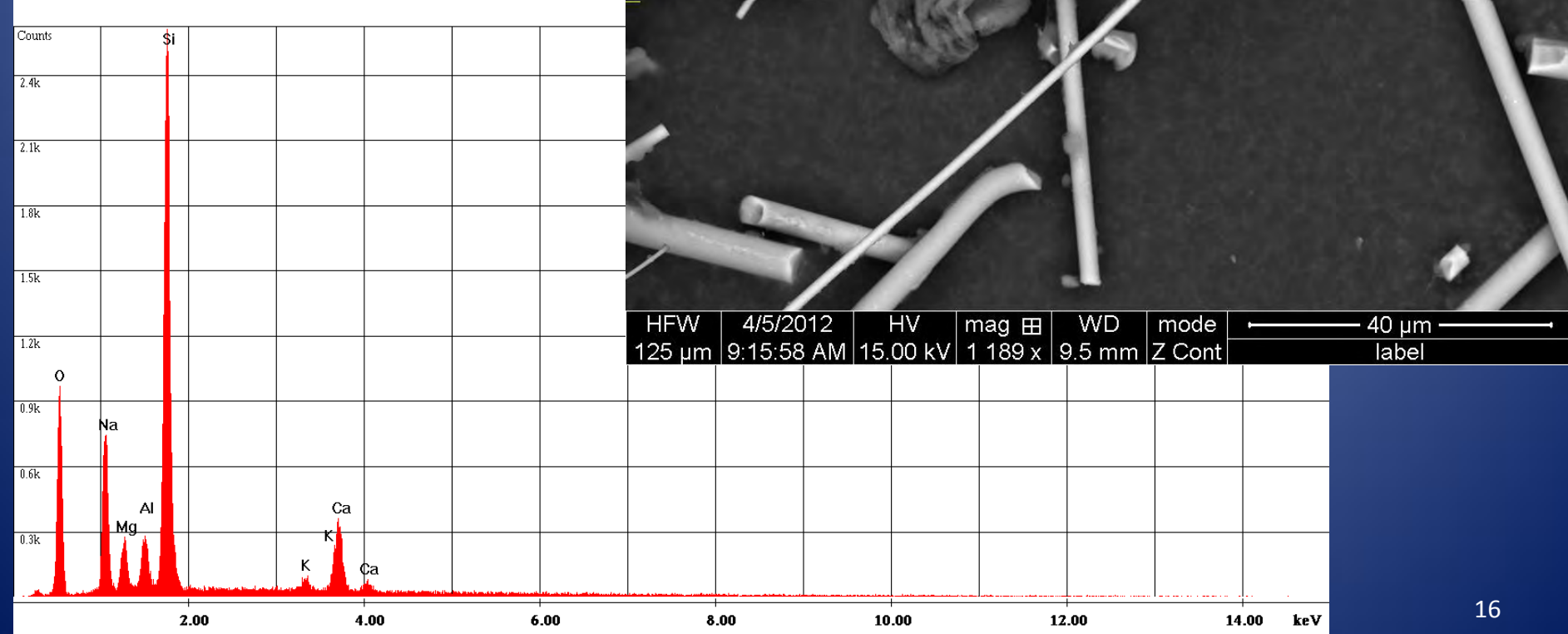
## Vlákna azbestu – chryzotilu ve stavebním materiálu – azbestocementovém potrubí



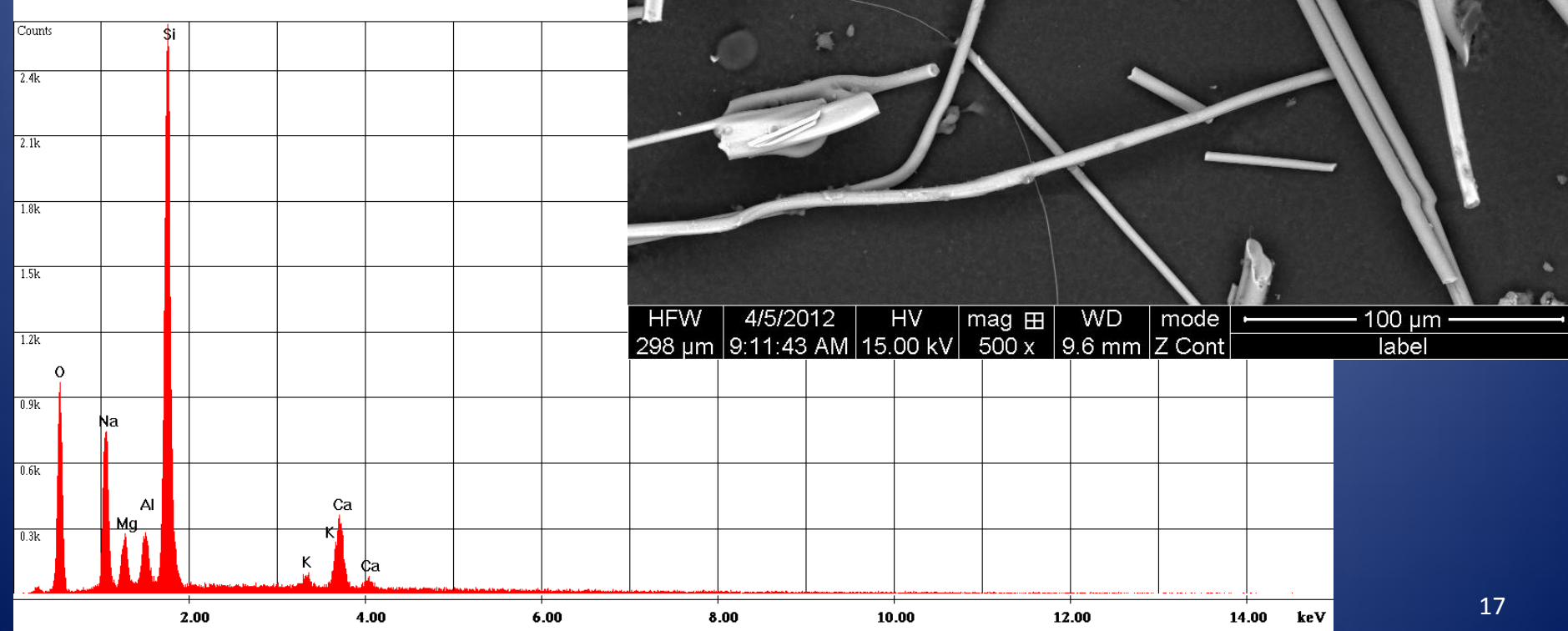
## Vlákna azbestu – chryzotilu ve stavebním materiálu – azbestocementovém potrubí



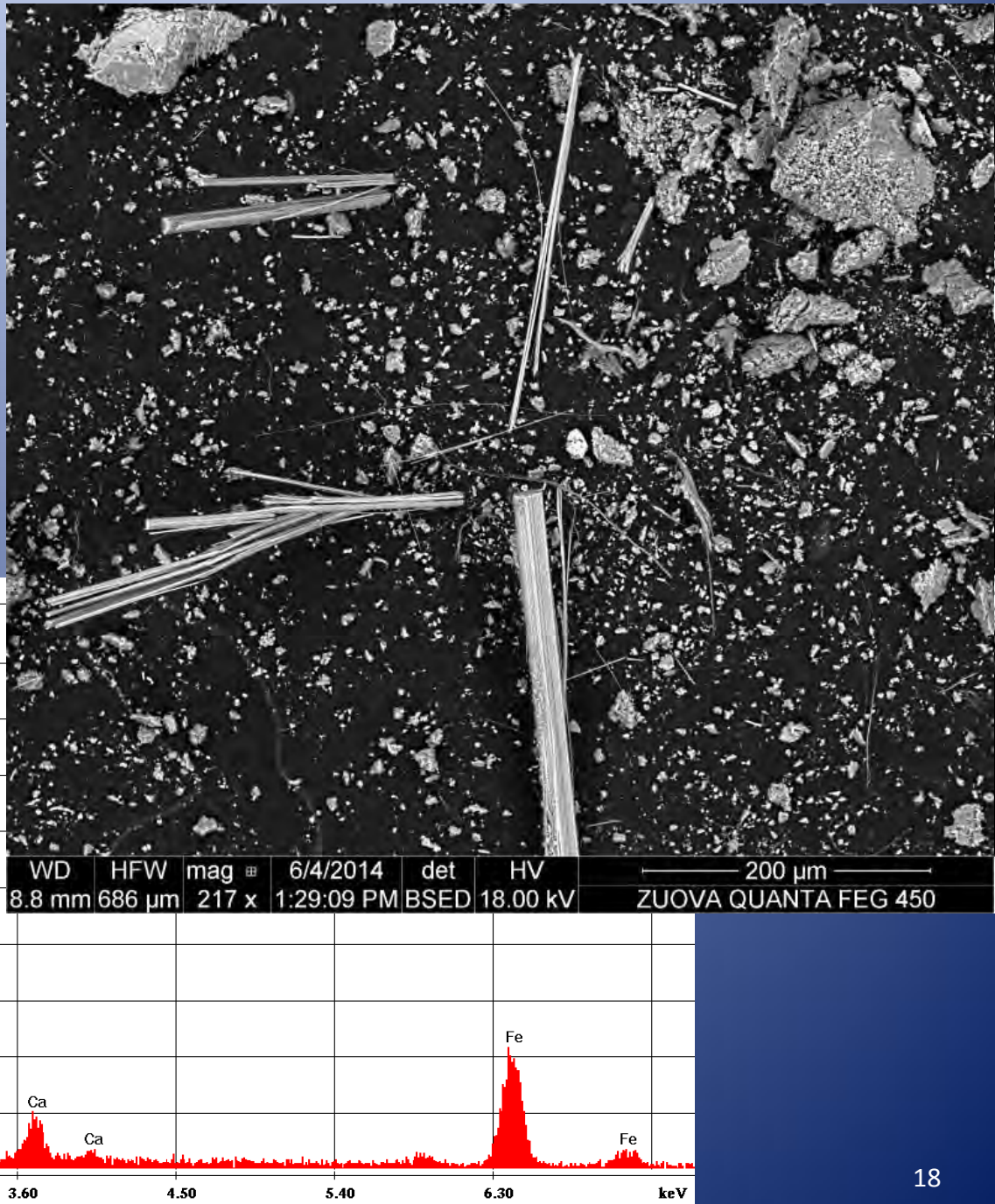
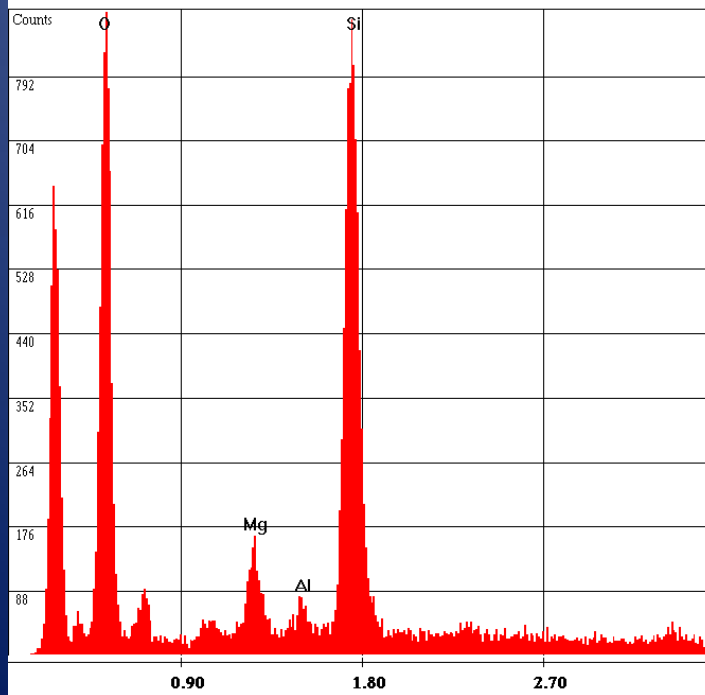
## Vlákna skelné vaty



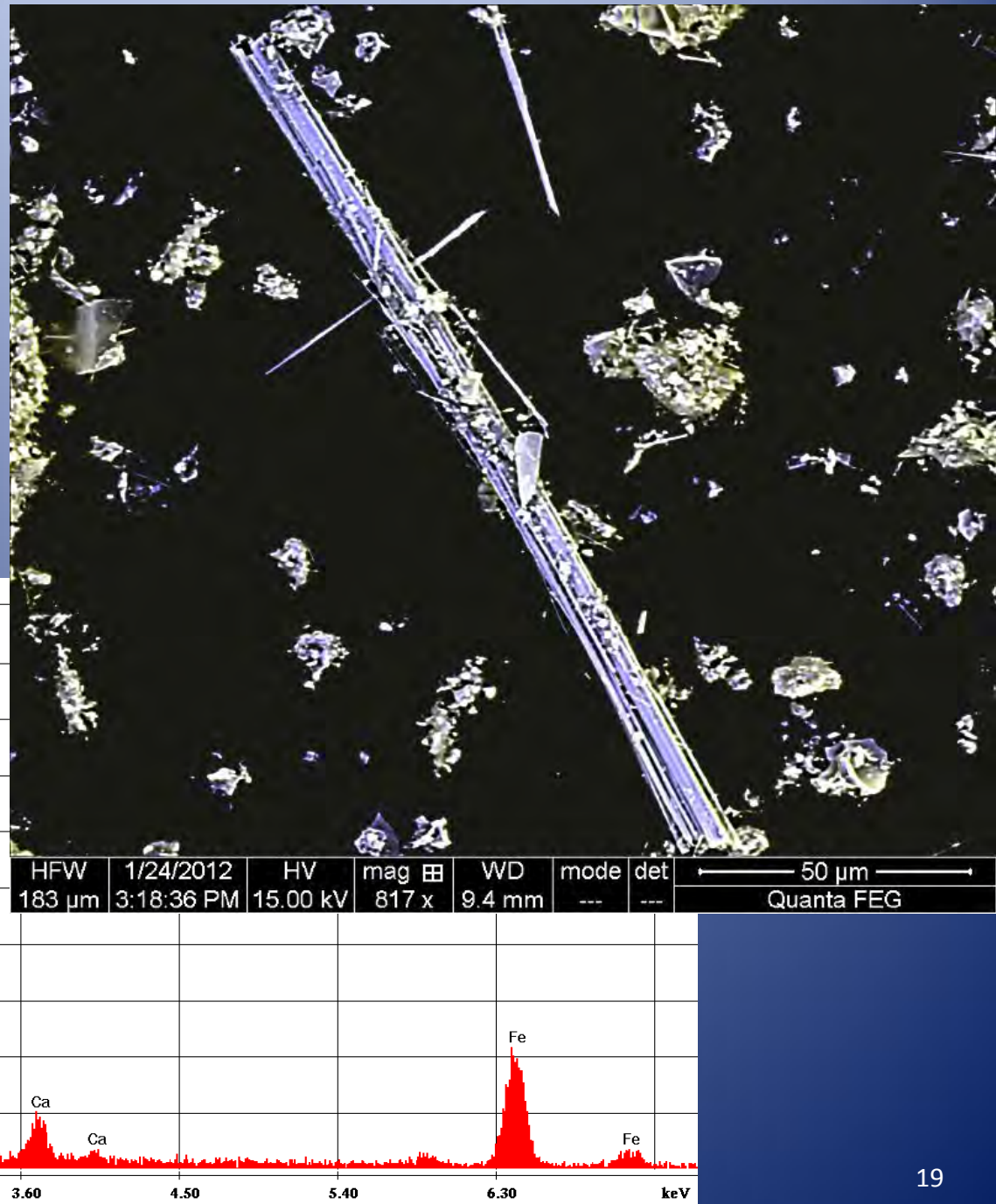
## Vlákna skelné vaty



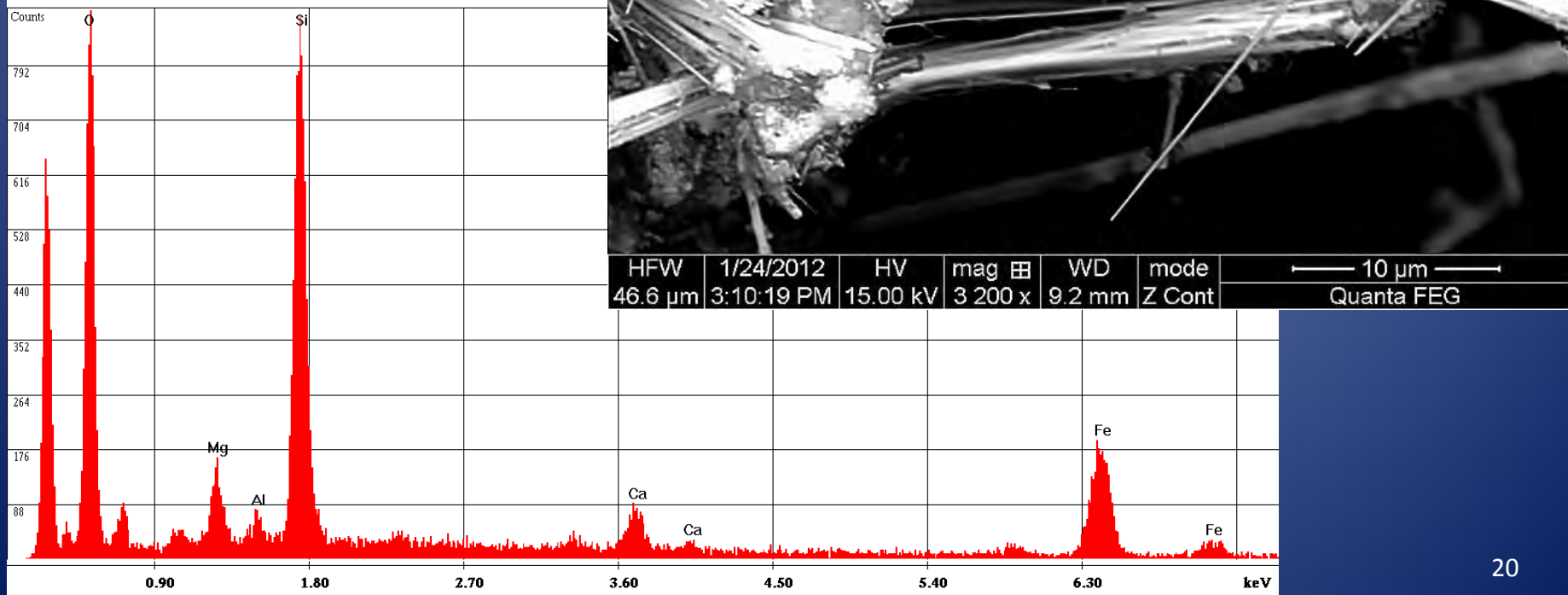
## Amozit ve stavebním materiálu



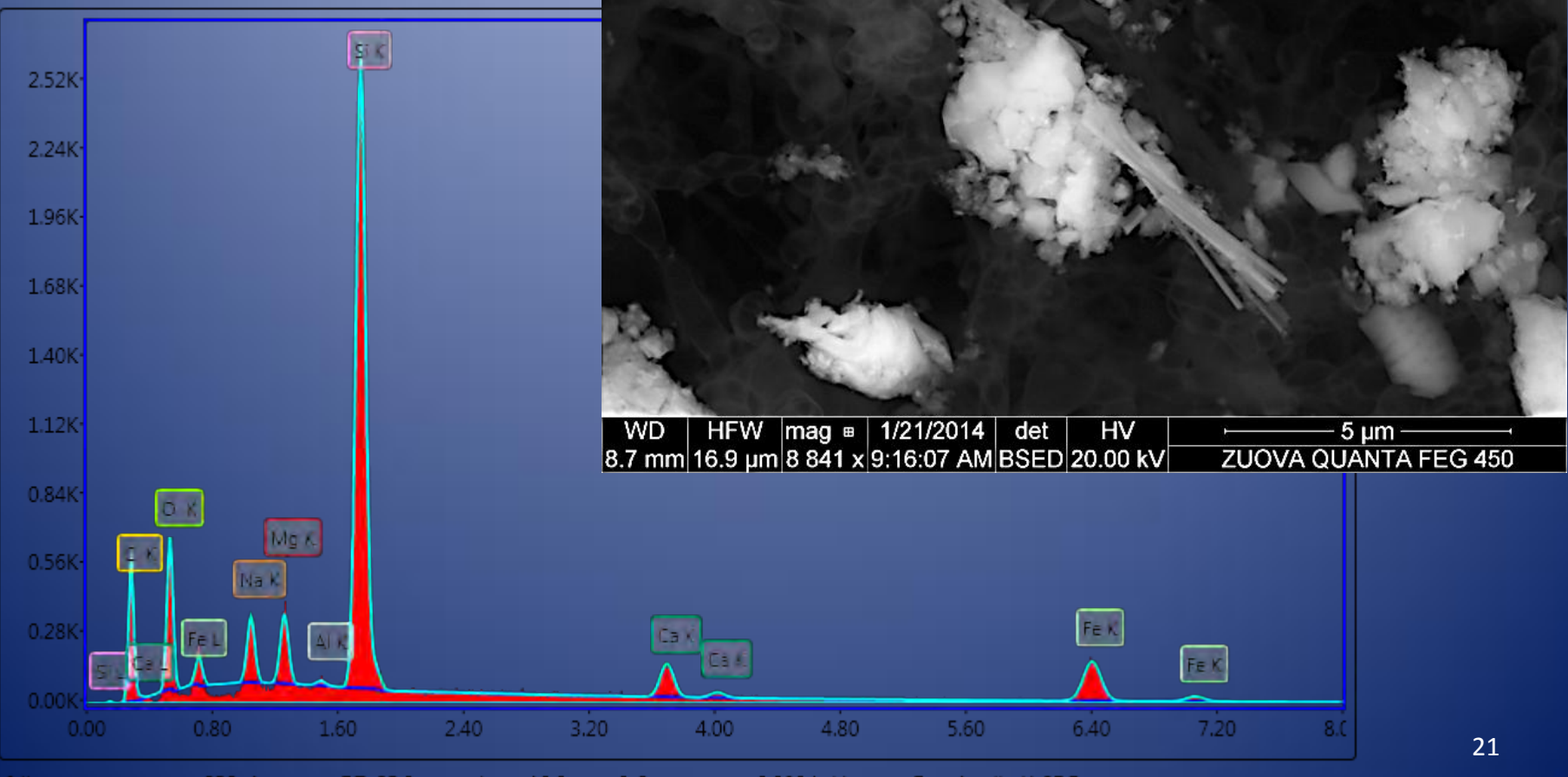
## Amozit ve stavebním materiálu



## Amozit ve stavebním materiálu

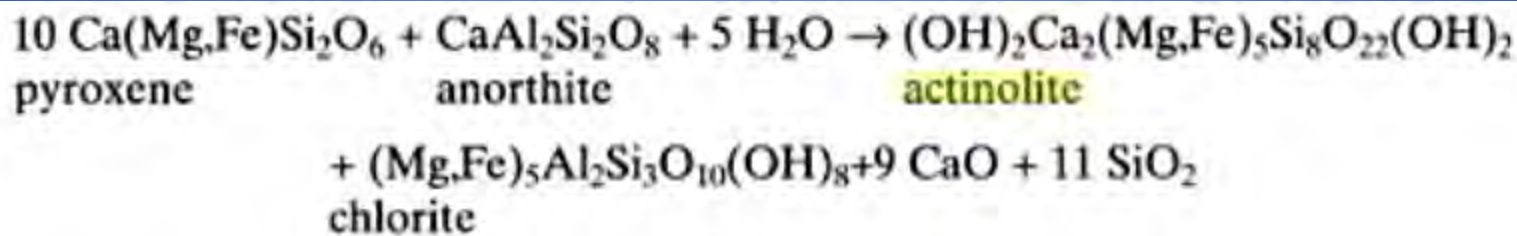


## Krokydolit ve stavebním materiálu



# **Identifikace azbestových vláken (převážně aktinolitu) emitovaných z přírodních zdrojů a přítomných v minerálech narází na přirozenou rozmanitost, variabilitu a spojitou metamorfózu nerostů na bázi amfibolů.**

Jsou identifikována minerální respirabilní vlákna s vyšším obsahem hliníku – jedná se o hornblend (aktinolitic-hornblende, magnesium-hornblende)??



With increasing grade of metamorphism the content of aluminium in the actinolite increases and in the biotite and garnet zones the amphibole approaches hornblende in composition.

# Identifikace azbestových vláken (převážně aktinolit a chrysotýl) - využití obou zdrojů a přítomnost v místech

Jsou vlákna těchto nerostů toxicita, resp. jsou karcinogenní?

10 C  
pyro

With increasing  
increases  
composition.

actinolite  
plende in

## Identifikace azbestových vláken (převážně ak pískovce)

Further research is needed to better understand health risks associated with exposure to other thoracic-size elongate mineral particles (EMPs), including those with mineralogical compositions identical or similar to the asbestos minerals and those that have already been documented to cause asbestos-like disease, as well as the physicochemical characteristics that determine their toxicity.

DHHS (NIOSH) Publication No. 2011-159

# IMA-AMPHIBOLE CLASSIFICATION SCHEME (2004)

**General Formula:**  $A_{0-1} B_2 C_5 T_8 O_{22} (O, OH, F, Cl)_2$

T = Tetrahedral Site: Si, Al, Ti

C = Octahedral Site: Al, Ti, Fe<sup>3+</sup>, V, Cr<sup>3+</sup>, Mn<sup>3+</sup>, Zr, Mg, Zn, Ni, Co, Fe<sup>2+</sup>, Mn<sup>2+</sup>, Li

B = M4-Site: excess of C in reversed order (Li, Mn<sup>2+</sup>, ..., Ca, Sr, Ba, Na

A = A-Site: excess of B in reversed order (Na, Ba, ..., K

Compiled from LEAKE et al. (1997, 2004)

by A. MOGESSIE, (abertha.mogessie@uni-graz.at)

K. ETTINGER, (karl.ettinger@uni-graz.at)  
Institute of Mineralogy and Petrology, University of Graz, Austria  
B.E. LEAKE, (leake@cardiff.ac.uk)

School of Earth, Ocean & Planetary Sciences, Cardiff University, Wales, UK

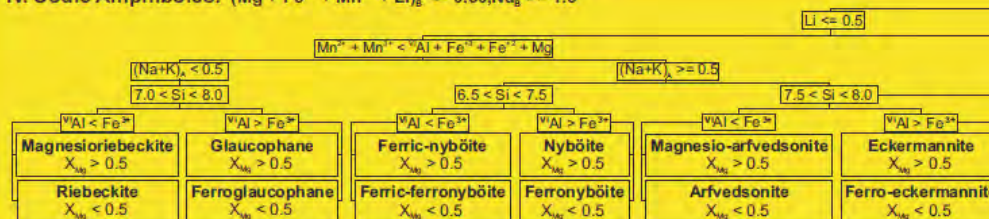
## Compulsory Prefixes

Prefix	Meaning	applicable to group
Alumino	<sup>V</sup> Al > 1.00	II, III, V
Chromio	Cr > 1.00	All groups
Chloro	Cl > 1.00	All groups
Ferri	Fe <sup>3+</sup> > 1.00	I, II, III, V
Fluoro	F > 1.00	All groups
Manganio	Mn <sup>2+</sup> > 1.00-2.99, All, not kozulite, ungarite	
Permanganio	Mn <sup>3+</sup> = 3.00-4.99, All, not kozulite, ungarite	
Mangani	Mn <sup>3+</sup> > 1.00, All, not korrite, ungarite	
Potassio	K > 0.50	All groups
Sodic	Na > 0.50	Mg-Fe-Mn-Li only
Titanio	Ti > 0.50	All, not kaersutite, Oberfilit, Dellaventurite
Zinco	Zn > 1.00	All groups

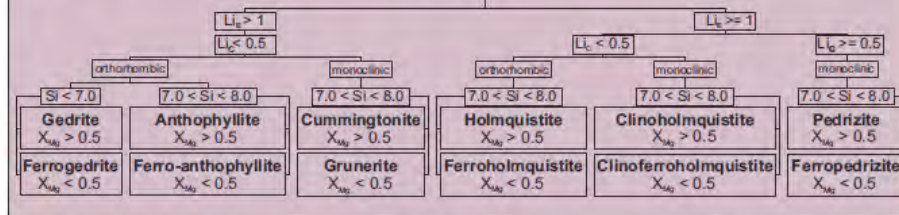
## Optional modifiers and their suggested ranges

Modifier	Meaning	Applicable to group
Barian	Ba > 0.10	All groups
Borian	B > 0.10	All groups
Catian	Ca > 0.50	Mg-Fe-Mn-Li only
Chrian	Cl > 0.25-0.99	All groups
Chomanian	Cr = 0.25-0.99	All groups
Ferian	Fe <sup>3+</sup> = 0.75-1.00	All groups, except sodic
Fluorian	F = 0.25-0.99	All groups
Hydroxolian	OH > 3.00	All groups
Lithian	Li > 0.25	All, not those defined by Li
Manganian	Mn <sup>2+</sup> = 0.25-0.99	All, not those defined by Mn <sup>2+</sup>
Manganianio	Mn <sup>3+</sup> or Mn <sup>2+</sup> = 0.25-0.99, Ditto, Mn <sup>3+</sup> (e.g. komite)	
Nickelian	Ni > 0.10	All groups
Oxygenian	(OH+F+Cl) < 1.00	All groups, not ungarite
Potassian	K = 0.25-0.49	All groups
Plumbian	Pb > 0.10	All groups
Sodian	Na = 0.25-0.49	Mg-Fe-Mn-Li only
Strontian	Sr > 0.10	All groups
Titanian	Ti = 0.25-0.49	All, not those defined by Ti
Vanadan	V > 0.10	All groups
Zinian	Zn = 0.10-0.99	All groups
Zirconian	Zr > 0.10	All groups

## IV. Sodic Amphiboles: $(Mg + Fe^{2+} + Mn^{2+} + Li)_B \leq 0.50, Na_B \geq 1.5$



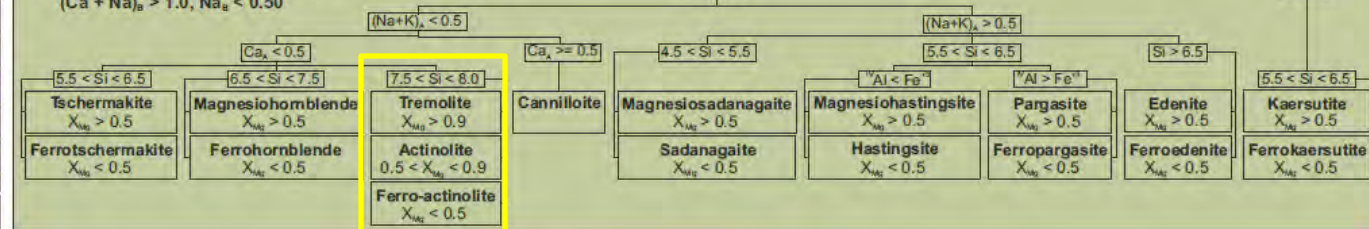
## I. Mg-Fe-Mn-Li Amphiboles: $(Mg + Fe^{2+} + Mn^{2+} + Li)_B \geq 1.5$



Published by the Mineralogical Society, 41 Queen's Gate, London SW7 5HR, UK (www.minersoc.org)

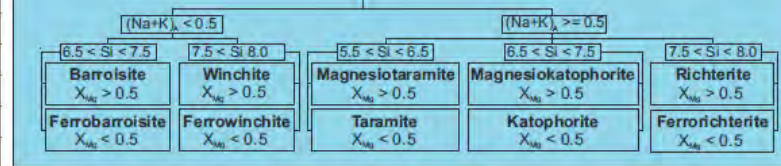
© A. MOGESSIE, K. ETTINGER, B.E. LEAKE (2004)

## II. Calcic Amphiboles: $(Mg + Fe^{2+} + Mn^{2+} + Li)_B \leq 0.50, (Ca + Na)_A > 1.0, Na_B \leq 0.5$



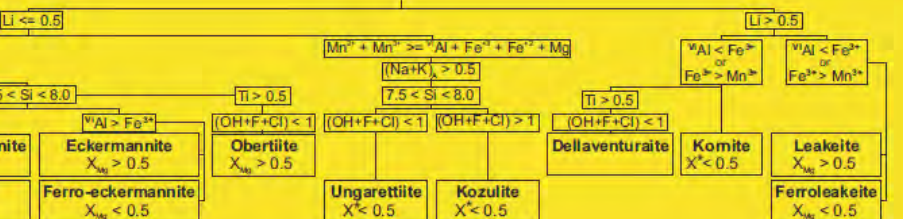
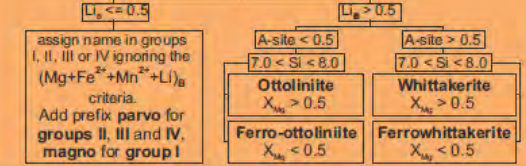
## III. Sodic-Calcic Amphiboles:

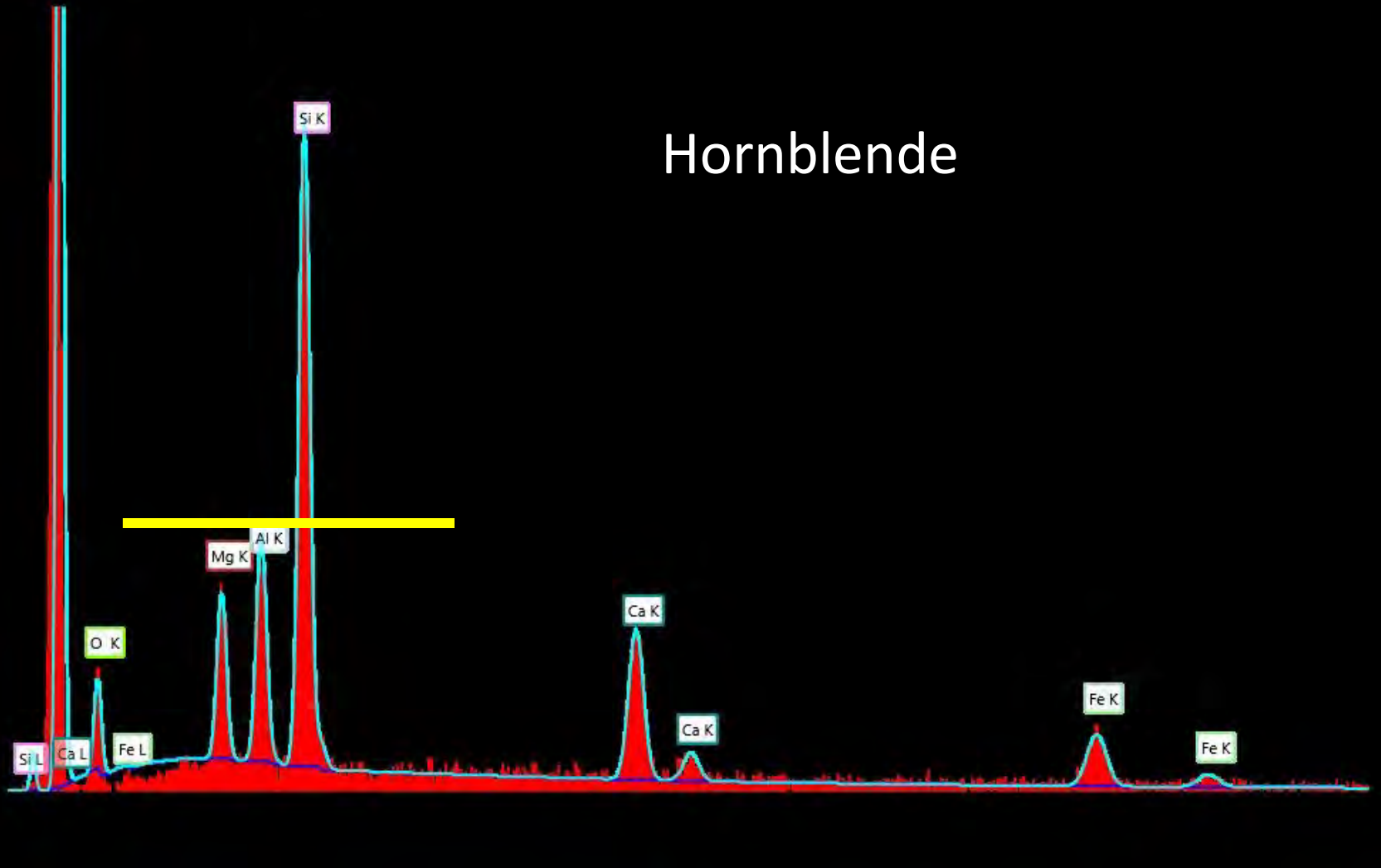
$(Mg + Fe^{2+} + Mn^{2+} + Li)_B \leq 0.50, (Ca + Na)_A \geq 1.0, 0.5 < Na_B < 1.5$



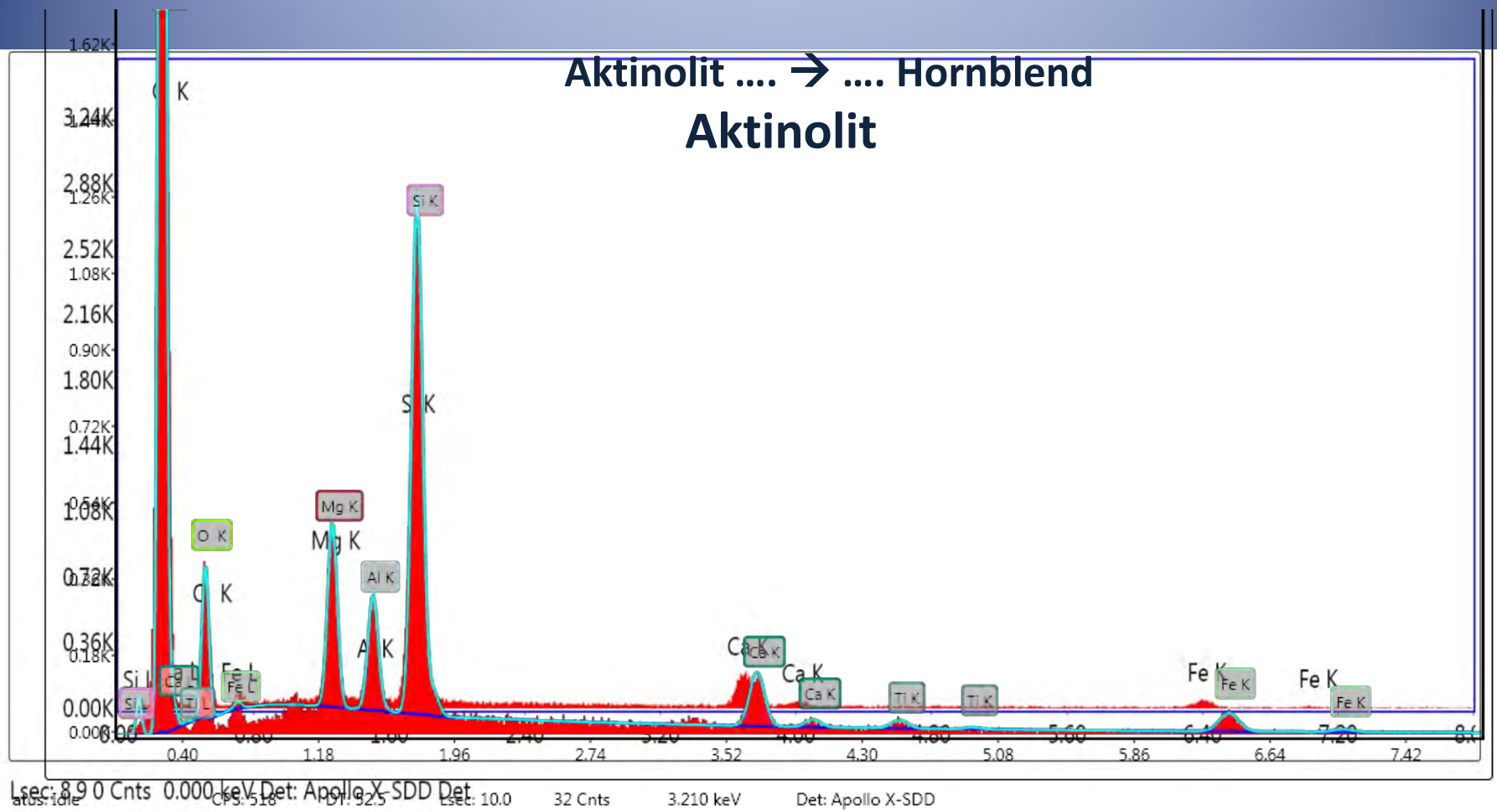
## V. Na-Ca-Mg-Fe-Mn-Li Amphiboles:

$0.50 < (Mg + Fe^{2+} + Mn^{2+} + Li)_B \leq 1.5, 0.50 \leq (Ca + Na)_A \leq 1.5$

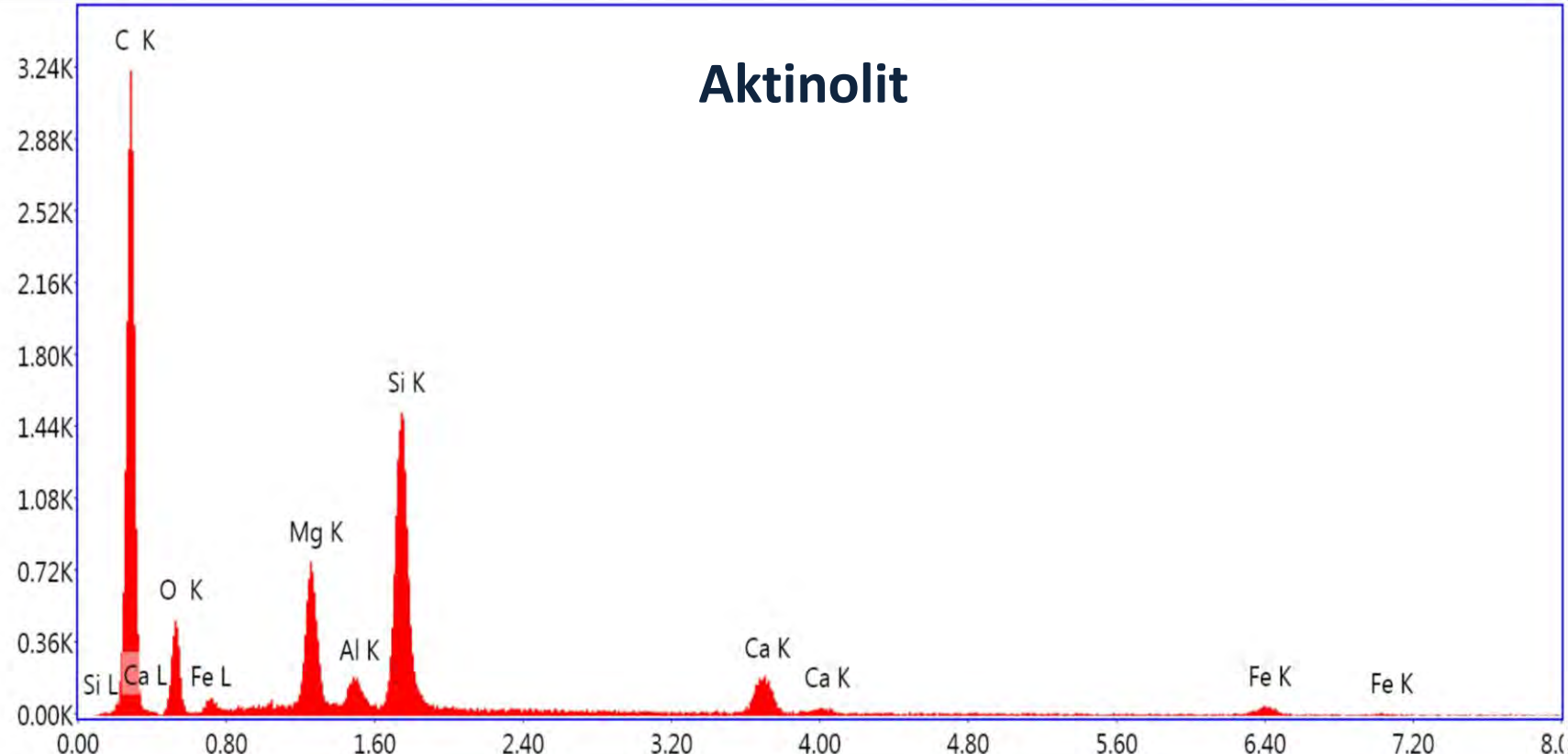




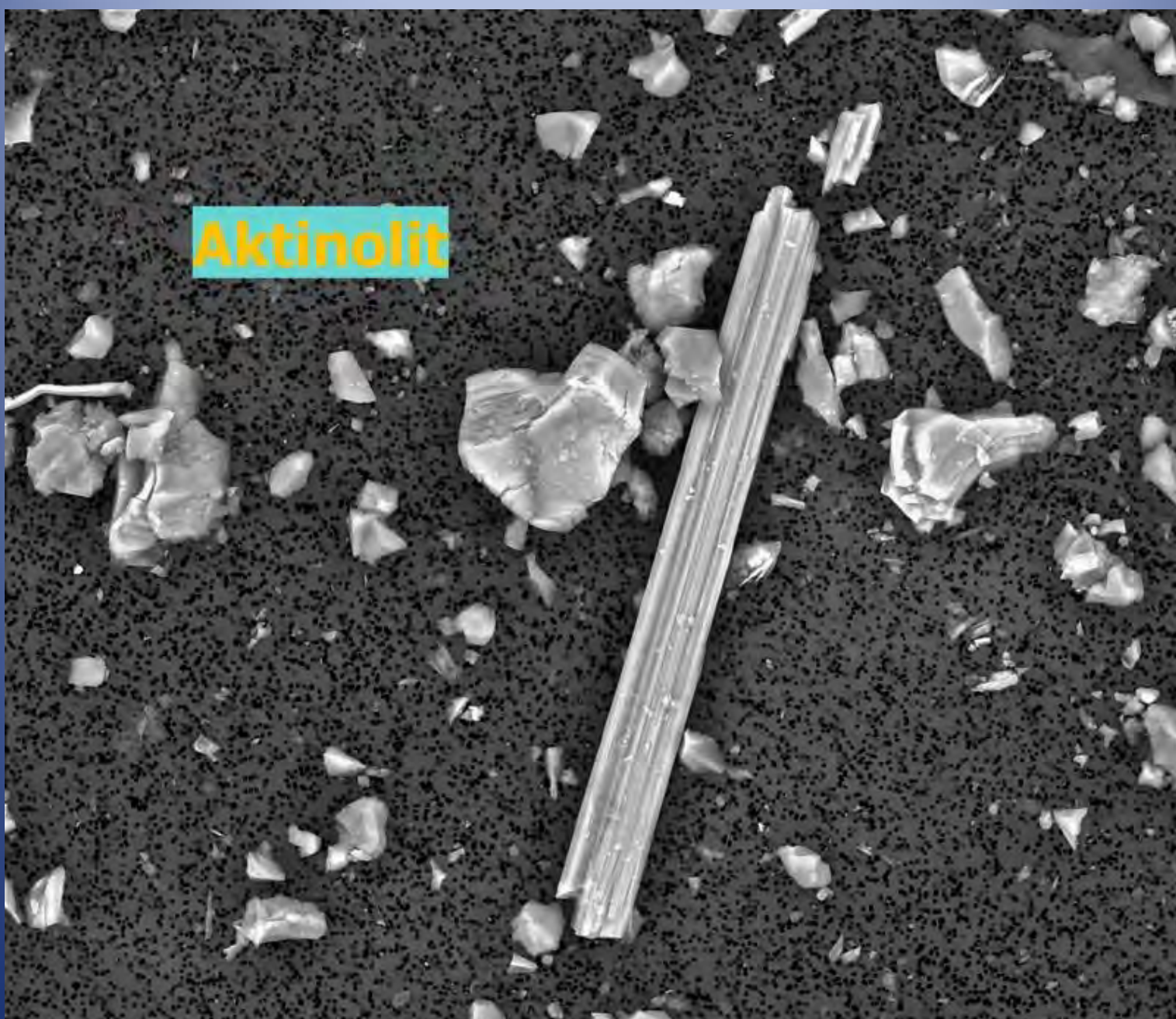
Aktinolit .... → .... Hornblend  
Aktinolit



# Aktinolit

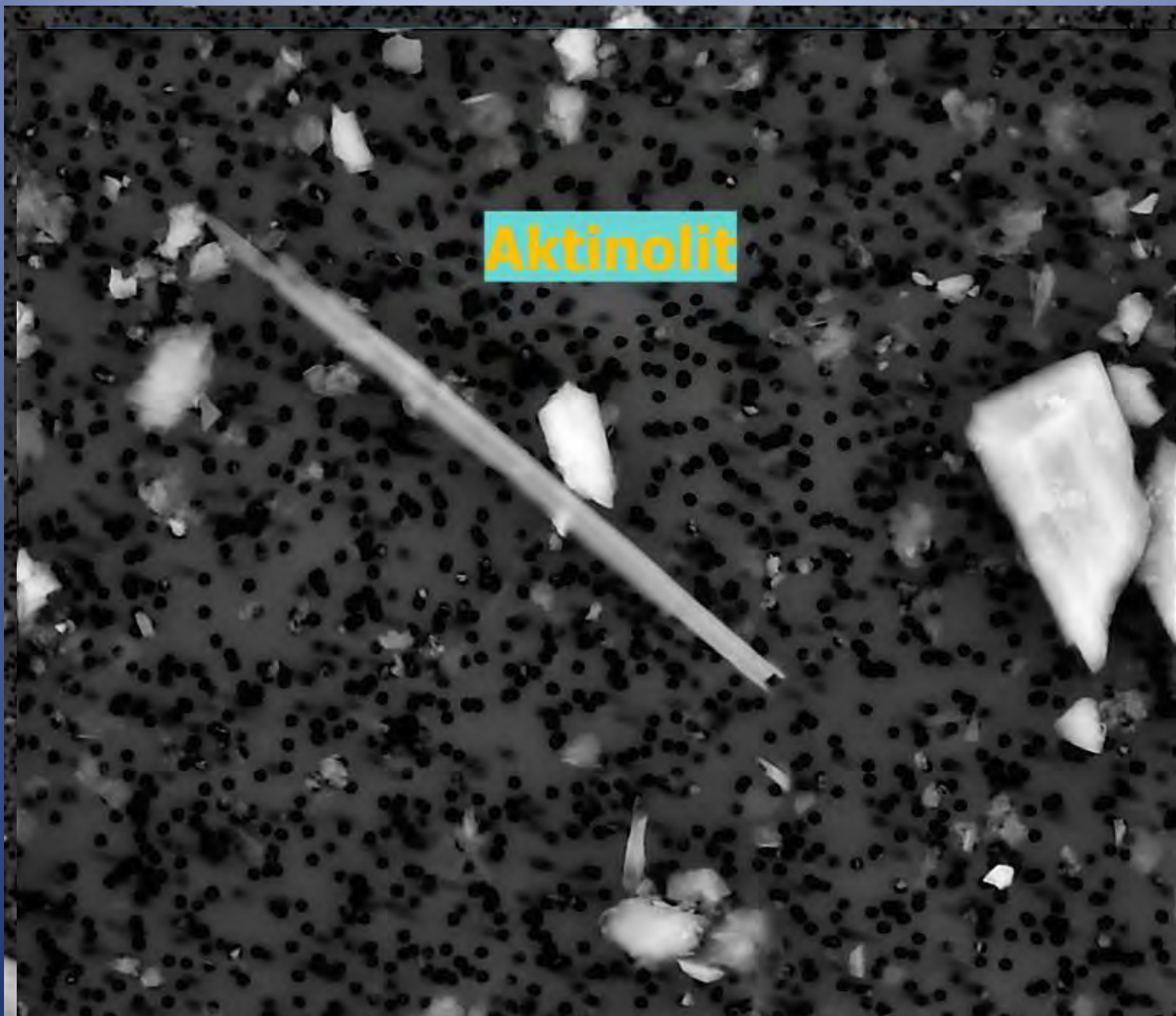


Lsec: 8.90 Cnts 0.000 keV Det: Apollo X-SDD Det



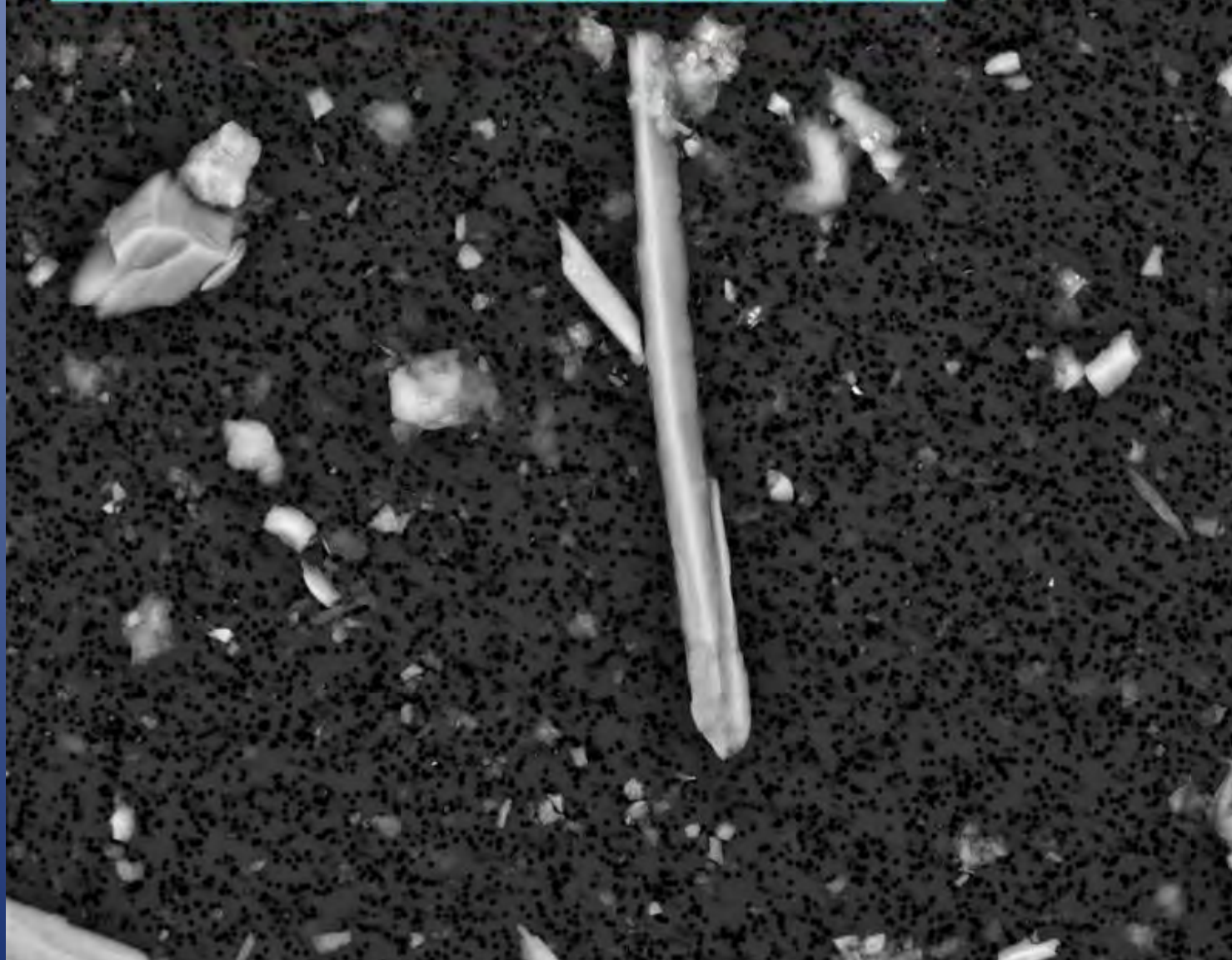
Aktinolit

WD 8.7 mm	HFW 68.4 µm	mag 2 181 x	11/7/2014 9:02:39 AM	det BSED	HV 13.00 kV	20 µm	ZUOVA QUANTA FEG 450
--------------	----------------	----------------	-------------------------	-------------	----------------	-------	----------------------

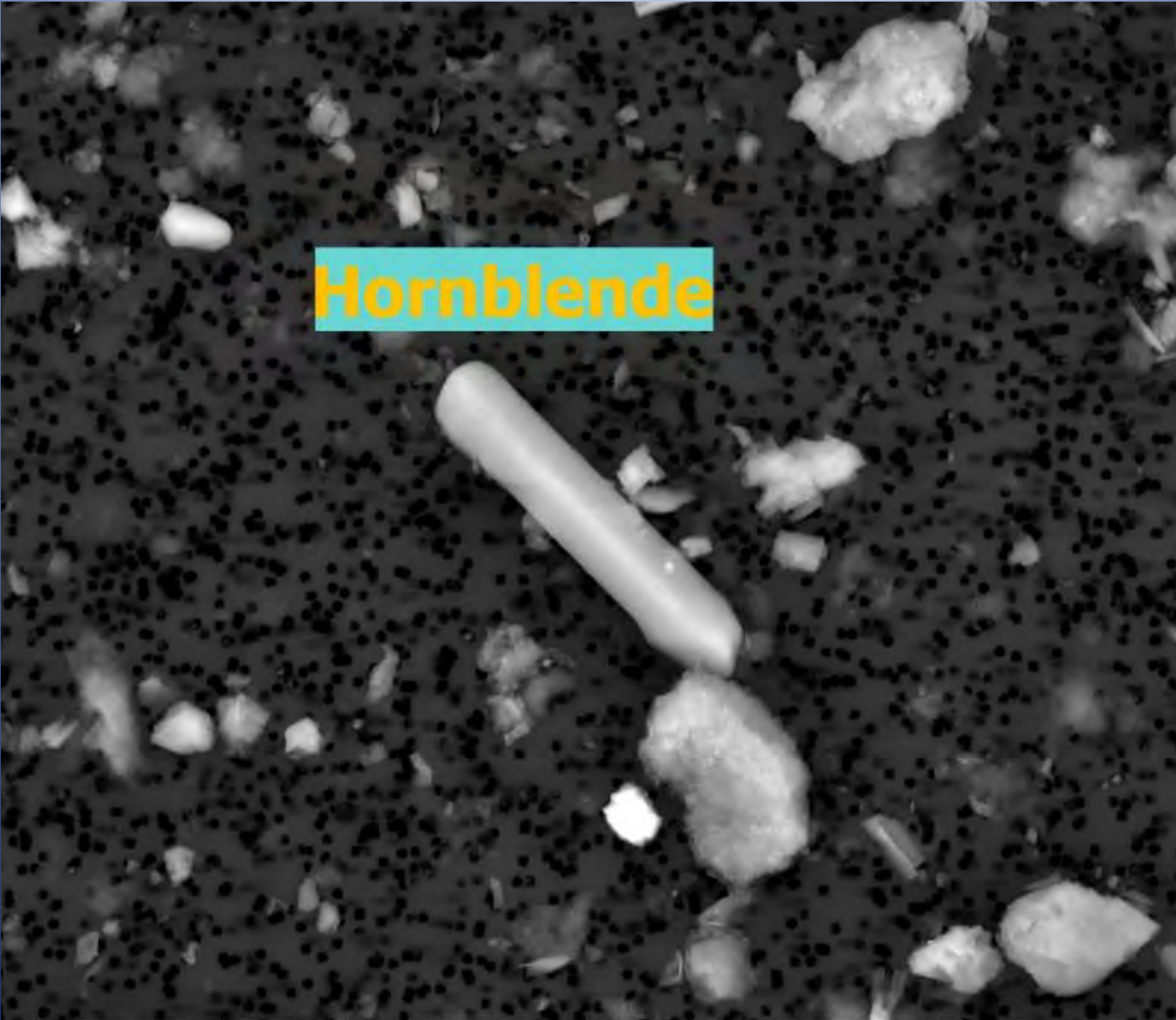


WD	HFW	mag	10/23/2014	det	HV	5 μm
9.0 mm	22.2 μm	6 714 x	10:07:25 AM	BSED	13.00 kV	ZUOVA QUANTA FEG 450

Aktinolit ... -> ... hornblende



WD 9.8 mm	HFW 48.5 µm	mag 3 073 x	11/27/2014 9:39:48 AM	det BSSED	HV 13.00 kV	— 10 µm —
ZUOVA QUANTA FEG 450						



Hornblende

WD	HFW	mag	11/27/2014	det	HV	10 µm
9.8 mm	27.7 µm	5 385 x	10:06:53 AM	BSED	13.00 kV	ZUOVA QUANTA FEG 450

# Problematika syntetických minerálních vláken

Jsou předmětem toxikologických studií a musí splňovat podmínu biodegradability – v EU pouze v Německu mají podrobně rozpracovány nutné podmínky pro použití těchto minerálních vláken za účelem tepelné a zvukové izolace. Musí splňovat alespoň jednu ze tří podmínek (TRGS 905):

- I. Vhodný intraperitoneální test nesmí prokázat znaky výrazné karcinogenity.
- II. Poločas *clearance* po intratracheální instilaci 2mg respirabilních vláken ve formě suspenze musí být menší nebo roven 40-ti dnům.
- III. Index karcinogenity (KI) definovaný vzorcem:

$$KI = \Sigma(Na_2O, K_2O, B_2O_3, CaO, MgO, BaO) - 2 \times Al_2O_3$$

musí být roven nebo větší 40.

**Otzka dodržování akreditačních kritérií**  
**- externí kontrola kvality**

**Mezinárodní okružní test –  
stanovení azbestových vláken metodou skenovací  
elektronové mikroskopie (SEM).**

**Health & Safety Laboratory**

**Harpur Hill, Buxton, Velká Británie**



Akreditován postup kvantitativního  
stanovení azbestových vláken v  
nerostných surovinách a výrobcích z  
nich.

Metodika stanovení je vhodná pro všechny typy  
nerostných surovin, drceného kameniva a dalších  
výrobků.

Vynikající mez stanovení 0,008%. Nejistota  
vypočtená na základě vícenásobného počtu analýz  
reálných vzorků na různých koncentračních  
hladinách 40%.

Děkuji za pozornost

